

POISSONI KOEFITSIENDI JA TUIKLEMISE SAGEDUSE
MÄÄRAMINE WILBERFORCE' I PENDLI ABIL

1. Tööülesanne

Tutvumine liitvõnkumistega. Poissoni koefitsiendi ja tuiklemiste sageduste määramine.

2. Töövahendid

Katseseade seinale kinnitatud kronsteini küljes, sekundkell, nihik.

3. Teoreetiline sissejuhatus

On teada, et vedru otsa riputatud koormis võib vabalt vänkuda, kui ta alguses väikest jõu mõjul tasakaaluasendist välja via ja siis lahti lasta. Sama keha võib sooritada ka pöördvõnkumist. Selleks tuleb tasakaaluasendis elevat keha natuke pöörata ümber vertikaaltelje ja siis lahti lasta. Kui keha võtab samaaegselt osa mõlemast vänkumisest, tekib liitvõnkumine - tuiklemine.

Vertikaalne vänkumiinie on põhjustatud vedru traadi ristlõike kihtide nihkedeformatsioonil tekkivatest elastsusjõududest, mida iseloomustab traadi materjali nihkemoodul G . Pöördvõnkumise taastav moment on põhjustatud traadi telje sihilise venituse (surve-) deformatsioonil tekkivatest elastsusjõududest, mida iseloomustab materjali elastsusmoodul E . Venituse (surve-) deformatsioonil tekib suhteline pikenemine (lühinemine) ϵ ja ristlõikepindala vähenemist (suurenemist) iseloomustav suhteline kokkusurumine (venitus) ϵ_g ($\epsilon_g = \Delta d/d$, kus d on traadi diameeter pingestamata olekus ja Δd on pingestatud traadi diameetri muutus).

Suhet $v = -\epsilon_g/\epsilon$ nimetatakse Poissoni koefitsiendiks. Ta iseloomustab sine omadusi (nagu ka E ning G) ja ei sõltu ainest valmistatud keha kujust. On ilmne, et konstandid v ja E peavad olema omavahel seotud. Et igal venitusel tekib alati ke veni-

tava pingega teravnurga all asetatud mõningane nihkumine, siis on tegelikult kõik kolm materjali elastseid omadusi iseloomustavat konstanti - v , E ja G omavahel seotud. See seos on sel-line:

$$\dot{\psi} = \frac{E}{2G} - 1 \quad (1)$$

Kui vedru keerdude kaldenurk horisontaali suhtes on väike, siis vertikaalse võnkumise korral tavaliselt ei arvestata surve deformatsiooni, pöördvõnkumise korral aga nihkedeformatsiooni. Selline lihtsustus võimaldab kergesti määrata Poissoni koefitsiendi, mõistes mõlemate võnkumiste perioodid.

Elastsete kehade teooriast on teada, et vedru jäikustegur k_1 vertikaalse võnkumise korral (survedeformatsiooni arvestamata) avaldub

$$k_1 = \frac{G d^4}{8 n D^3}, \quad (2)$$

kus d - vedru traadi diameeter,

D - vedru diameeter,

n - vedru keerdude arv,

G - nihkemoodul.

Jäikustegur pöördvõnkumise korral k_2 (nihkedeformatsiooni arvestamata) on

$$k_2 = \frac{E d^4}{64 n D}, \quad (3)$$

kus E on elastsusmoodul.

Kui pendel võngub ainult vertikaaltasandis ja keskkonna takistust tema liikumisele arvesse ei võeta, kirjeldab võnkumist diferentsiaalvõrrand

$$m \ddot{x} = - k_1 x, \quad (4)$$

kus m - koormise mass,

x - vertikaalnihe.

Pöördvõnkumise diferentsiaalvõrrand avaldub kujul

$$I \ddot{\phi} = - k_2 \varphi, \quad (5)$$

kus I - koormise inertsimoment,

φ - pöördenurk.

Võrrandeist (4) ja (5) saame

$$T_1 = 2\pi \sqrt{\frac{m}{k_1}}, \quad (6)$$

$$T_2 = 2\pi \sqrt{\frac{m}{k_2}}, \quad (7)$$

kus T_1 - vertikaalse vänkumise periood.

T_2 - pöördvänkumise periood.

Asendades valemissesse (1) vastavad avasldised valemeist (2), (3), (6) ja (7), saame Poissoni koefitsiendi leidmiseks valemi

$$\nu = \frac{41 T_1^2}{D^2 m T_2^2} - 1. \quad (8)$$

Pendli pöörd- ja vertikaalvänkumise perioodid, seega ka sagedused (nn. normaalsagedused) ei ole omavahel võrdsed. Koormise massi muutmata on vähimalik muuta tema inertsimomenti (muutes lisakehade asukohta), ühtlasi ka pöördvänkumise perioodi. Kui ka pöörd- ja vertikaalse vänkumise perioodid muutuvad omavahel suuruselt vörreldavaks, näemegi tuiklemist.

Tuiklemise sagedus

$$\omega = \omega_2 - \omega_1, \quad (9)$$

kus ω_2 - pöördvänkumise sagedus (tuiklemise esinemise korral),

ω_1 - vertikaalse vänkumise sagedus.

Tuiklemise periood τ valdub valemiga

$$\tau = \frac{T_1 T_2}{T_2 - T_1}. \quad (10)$$

4. Seadme kirjeldus

Vedru koos koormisega (Wilberforce'i pendel) on riputatud kronsteini külge (joon.1). Koormisel on joon.2 nähaolev kuju. Vertikaalsesse metallsilindrisse A on kinnitatud neli horisontaalset keermestatud varast B. Raskused C on nihutatavad piki keermestatud vardaid ja nende asukoha muutmisega saame muuta koormise inertsimomenti.

Koormise inertsimomendi summmeetriatitelje OO suhtes saame kas

- 1) arvutada üksikute kehade inertsimomentide summania või
- 2) määräta katseliselt. Meetodi valik jäab üliõpilase hooleks.

1) Inertsimomendi arvutamine. Silindri A inertsimoment

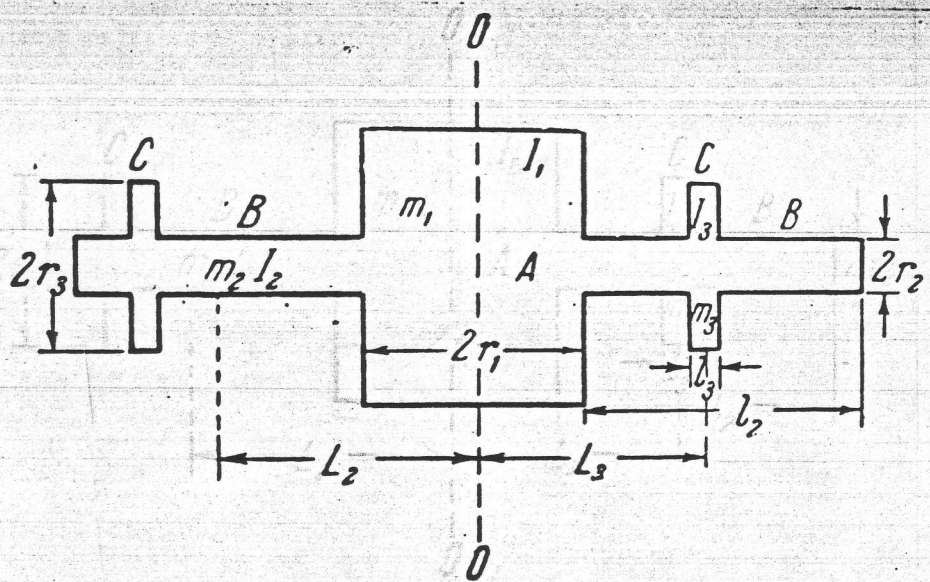
$$I_1 = \frac{1}{2} m_1 r_1^2,$$

kus m_1 - silindri A mass,

r_1 - silindri A raadius.



Joon. 1



Joon. 2

Varda B inertsimoment

$$4I_2 = 4m_2 L_2^2 + \frac{4m_2}{12} (l_2^2 + 3r_2^2),$$

kus m_2 - varda B mass,

r_2 - varda B raadius.

l_2 - varda B pikkus,

L_2 - kaugus sümmeetriatiteljast varda B massikeskmeni.

Ketaste C inertsimoment

$$4I_3 = 4m_3 \left\{ l_3^2 + \frac{1}{12} [l_3^2 + 3(r_3^2 + r_2^2)] \right\},$$

kus m_3 - ketta C mass,

r_3 - ketta C raadius,

l_3 - ketta C paksus,

L_3 - ketta C raskuskeskme kaugus sümmeetriatiteljast.

Seega kogu keha inertsimoment

$$\begin{aligned} I &= I_1 + 4I_2 + 4I_3 = \\ &= \frac{1}{2} m_1 r_1^2 + 4m_2 \left[L_2^2 + \frac{1}{12} (l_2^2 + 3r_2^2) \right] + \\ &\quad + \frac{1}{3} m_3 \left[l_3^2 + 3(r_3^2 + r_2^2) \right] + 4m_3 L_3^2. \quad (11) \end{aligned}$$

Selle avaldise kolm esimest liiget ei sõltu ketaste asendist ja need võime eelnevalt välja arvutada. Kauguse L_3 mõõdame nihikuga. Koormise kogumass

$$m = m_1 + 4m_2 + 4m_3. \quad (12)$$

2) Inertsimomendi katseline määramine torsioonpendli meetodil. Meetodi kirjelduse võib leida näit. mehaanikapraktikumi juhendist T-8 [4, lk.84].

Vertikaalselt rippuv traadi otsa kinnitatakse vaheldumisi Wilberforce'i pendli keha ja (etalon-) metallsilinder, mõõdetakse mõlemal juhul pöördvõnkumise periood T ja T_s . Nagu teada, saab need perioodid arvutada valemist

$$T = 2\pi \sqrt{\frac{I}{D}}, \quad (13)$$

$$T_s = 2\pi \sqrt{\frac{I_s}{D}}. \quad (14)$$

Sin I on meie pendli otsitsav inertsimoment. Etalonsilindri inertsimoment

$$I_s = \frac{1}{2} m_s R_s^2,$$

kus m_s - etalonsilindri mass,

R_s - etalonsilindri raadius.

Valemitest (13) ja (14) saame valemi I arvutamiseks:

$$I = \frac{T^2}{T_s^2} I_s. \quad (15)$$

5. Töö käik

5.1. Poissoni koefitsiendi määrame niisugusel juhul, kui vertikaalne võnkumine kutsub esile minimaalse pöördvõnkumise. Vastav olukord leitakse ketaste C asendi muutmisega eksperimentaalselt (siis on vertikaal- ja pöördvõnkumise perioodid väimalikult erinevad).

Viime koormise piki vertikaali mõne sentimeetri ulatuses tasakaalusendist välja ja laseme lahti. Määrame vertikaalse võnkumise perioodi T_1 .

Muutmata süsteemi inertsimomenti, tekitame pöördvõnkumise ümber vertikaalse telje. Selleks pöörame tasakaalusendis olevat koormist ettevaatlikult varda B otsast horisontaaltasapinnas ca 10° võrra ja laseme siis lahti. Seejuures jälgime hoolikalt, et samaaegselt ei tekiks vertikaalset võnkumist. Määrame pöördvõnkumise perioodi T_2 .

Kumbagi perioodi mõõdame vähemalt kolm korda ja keskmiste väärustuste järgi, kasutades valemeid (8) ja (9) ning (12) või (15). Leiate Poissoni koefitsiendi.

5.2. Muudame süsteemi inertsimomenti. Mida väiksemaks muutub sageduste erinevus, seda märgatavamaks muutub tuiklemine. Tuiklemise perioodi leidmiseks määrame kõigepealt väikese amplituudiga ($5-6^\circ$) pöördvõnkumise perioodi T_2 . Seejuures jälgime, et vertikaalne võnkumine puuduks. Inertsimomenti muutmata tekitame liitvõnkumise, kusjuures vertikaalse võnkumise energia olgu suurem pöördvõnkumise energiast. See näue on täidetud, kui tuiklemisel pöördvõnkumise amplituud kahaneb nullini, vertikaalvõnkumise oma aga mitte.

Tuiklemise perioodi τ määrame varda B otsa kahe järjestikuse paigaloleku aja vahena. Mõõtmisi teeme vähemalt kolm korda. Teades T_1 , T_2 ja τ , kontrollime, kas valem (10) kehtib.

Ei ole soovitav kasutada väga lähedasi T_1 ja T_2 väärustusi ega anda koormisele liiga suuri alghälbeid.

6. Lisaküsimusi

1. Miks on valemis $v = -\varepsilon / \varphi$ märk "miinus"?
2. Tuletada seos (1) nihkemooduli, elastsusmooduli ja Poissoni koefitsiendi vahel.
3. Tuletada võrrandist (4) valem (6).

7. Kirjandus

1. С. П. Стрелков. Механика. М., "Наука", 1965, стр. 266-272.
2. С. Э. Хайкин. Физические основы механики. М., Физматгиз, 1963, стр. 468-472, 649-662.
3. Физический практикум. Механика и молекулярная физика. Под. пед. В. И. Ивероновой. М., "Наука", 1967, стр. 167-171.
4. Mehhaanikapraktikumi tööjuhendid. J. Koost, E. Tamm. Tartu, 1988.